

(19)
(12)

(KR)
(A)

(51) 。 Int. Cl.⁷
H03F 3/20
H03G 3/30

(11)
(43)

10-2004-0095289
2004 11 12

(21) 10-2004-7014465

(22) 2004 09 14

2004 09 14

(86) PCT/EP2002/002910

(87)

WO 2003/079541

(86) 2002 03 15

(87)

2003 09 25

(71) ()

38 -164

(72) , 90489 37

(74)

:

(54)

(12) RF (10)가 (12) (34),
(36), RF (22) (34) (36)
가 RF (22) 가 (18) .

1b

, , , RF , 가

(radio frequency)(, 'RF') , RF

RF , RF .
 , RF RF , RF RF 5,378,996
 5,378,996 , RF 가 .
 RF (negative) , (negative feedback)
 가 가 (positive) 가 .
 5,378,996 RF RF RF RF .
 RF RF Ashok Bindra 'Smart biasing keeps R.F. power
 amplifier on track', electronic design, 2002 1 21 , p38,40 , RF
 (monolithic) 가 .
 RF RF 가 1a 1a
 (12) RF (22), (10) (12) (16) (branch)(14) (18)
 (24) RF (14) (16) (16) (18) ,
 RF (22)
 RF (22) (14) (drift) (aging) , (14') (14'
) (12) P_{OUT} .
 RF RF , RF RF (robust)
 RF RF , RF RF
 , 가 RF 가 , RF 가
 ,가 RF 가 .
 , 가 가 , 가 ,
 , 가 가 , 가
 .가 , , 가

가

RF

(,)
(driver stage)

1a RF

1b RF

2

3 (static) 1

4 2

5a 5b 가 가 1

6 가 가 2

7 5 6 2 가

8 가

9 가 가 3

10 가 가 4

11 가 가 5

12 10 11 가 RF

13 가 가 가

14 13

15a 15b

가 , 가 RF 가 가 가
 ,가 , 가 가 가 가 가
 , 가 가 가 가 가
 가 가

1b (12), RF (10) (14) (10)

(24) (12) (16), (18), (20), (22) (26) (28) (shaping)

가 (32), 1 (28) (16) (28) (exponential) 1 (30), (30) 2 (28) (14)

(16) (18) (20) (22) (46) 가 (18) (34) (24)

(22) (22) (36), RF (38) RF (V_{bat}) () ()

1b (10)

2 (16) (28) (28) (discrete) POWLEV* POWLEV (14) (16)

, (16) POWLEV (24) (18) (20) (22) PAREG PAREG

RF (34) (38)

1b (12) (22) (34) (36) ()

20) (24), (16), (18)

(22) (22) (36) 가 (22) (22)

(12) (22) PAREG (12) H(s) K_{pa}

$$H(s) = \frac{Hf(s) \cdot Hlp(s) \cdot K_{detector} \cdot K_{pa} \cdot K_{sense}}{1 + Hf(s) \cdot Hlp(s) \cdot K_{detector} \cdot K_{pa} \cdot K_{sense}}$$

(18) Hf(s)

$$Hf(s) = \frac{1}{sCc}$$

(20) Hlp(s)

$$Hlp(s) = \frac{1}{1 + s \cdot R_{lp} \cdot C_{lp}}$$

(24) K_{sense}

$$K_{sense} = R_{sense}^4$$

(16) $K_{detector}$

$$K_{detector} = G_m^5$$

(12) 2

d

w_n

$$d = \frac{1}{2} \cdot \sqrt{\frac{C_c}{C_{lp} \cdot R_{lp} \cdot K_{pa} \cdot R_{sense} \cdot G_m}}$$

$$w_n = \sqrt{\frac{R_{sense} \cdot K_{pa} \cdot G_m}{C_{lp} \cdot R_{lp} \cdot C_c}}$$

[6] [7] , (12) d K_{pa} PAR
 EG K_{pa} 2 PAREG

(Global System for Mobile communications)(GSM 900) 900 MHz
 K_{pa} 1.6 A/V 0.96 A/V 3 GSM900
 /GSM1800/GSM1900 K_{pa} 3 A/V 0.2 A/V , 2
 6 A/V K_{pa} 가

d , w_n PAREG K_{pa} PAREG

가 (28, 32) .

가
 1b , 가 가 가
 K_{pa} 가 , 가
 K_{pa} 가

[6] [7] K_{pa} , [6] [7]
 가 (24), 가 (16), 가 (18) / 가 (20)
 가 (12)
 [6] [7] K_{pa} , (18) C_c (16) G_m
 (12) 가 C_c
 7] 2 PAREG K_{pa} , w_n [6] [

[1]

Gm	0.008 S	0.008 S
Cc	100 pF	100 pF
Rlp	56 Ω	56 Ω
Clp	1nF	1nF
Rsense	0.05 Ω	0.05 Ω
Kpa	2.84 A/V (PAREG=1.7V)	0.03 A/V (PAREG=2.5V)
d	2.0	22.3
wn	4.501 x 10 ⁶ rad/s	4.401 x 10 ⁶ rad

가 d C_c 가 w_n , K_{pa}
 , 가 , () 가 K_{pa} 3 4
 1 , ASIC
 3 , PI (discrete) C R' 3
 , C 가
 3 Hf(s)

8

$$Hf(s) = \frac{1+sR'C}{sC}$$

[8] [2] , [6] [7]
 2 (driver stage)(42) 4 (amplifier stage)(40)
 , c 가 (40) (42) ASIC
 (40) (42) F(s)

9

$$Hf(s) = G_m \times \frac{1}{sC}$$

4
 5a (18) (R') C_{var} 가 (18) 1 가 가 5a C_{var} C_{var} K_{pa} , 가
 (18) (R') C_{var} 3 (varicap) C , , 5a C_{var} C_{var} K_{pa} , 가
 PAREG , ,
 가 (18) , 가 C_{var} R' 가 (16) 가 ((46) 가 . , R' , 가 C_{var} (tapped) 가 C_{var} 가 ((12) R' (46) (12) R' (tapped) 가 C_{var} C_{var} 가 ()
 , 5a 2 R', R' R . 5a 가 (18) 5b .
 5a 5b (18) 가 C_{var} C_{var} U_{var} 가 'I' 가 가 PI K_{pa} (18) Hf(s) C_{var} U_{var} 가 .
 6 5a 5b PI , C_{var} C_{var} (가) dc 가 U_{offset} U_{offset} C_{var} (18) (46) 가 C_{var} U_{offset} PAREG U_{offset} , C_{var_offset} U_{offset} 가 가 .
 C_{var} U_{offset} , C_{var_offset} U_{offset} PAREG U_{offset} U_c .
 6 (18) Hf(s) PAREG U_{offset} U_c var ,

10

$$Hf(s, U_{cvar}) = \frac{1+sRC_i}{sC_i}$$

11

$$C_i(u_{cvar}) = \frac{C_o * C_{var_offset}(U_{cvar})}{C_o + C_{var_offset}(U_{cvar})}$$

가 (18) (46) 가 U_{offset} , PAREG C_{var_o} ffset x . C_{var_offset} K_{pa} .
 C_{var} C_{var_offset} 7 . 7 , C_{var_offset} C_{var} .

8 , C 가 d 가 C_{var_offset} 가
 6 , d 가 (18) d 가 . 가 (18)
 , d 2 . .

[2]

	Cc=Cvar_offset	Cc=const
K _{pa}	2.84 A/V (PAREG=1.7V)	
D	1.6	2.0
Wn	5.601 x 10 ⁶ rad/s	4.501 x 10 ⁶ rad/s
K _{pa}	0.03 A/V (PAREG=2.5V)	
D	10.5	22.3
Wn	0.852 x 10 ⁶ rad/s	0.401 x 10 ⁶ rad/s
d_ratio	6.6	11.2
wn_ratio	0.152	0.089

U_{offset} K_{pa} 가
 , K_{pa} 가 U_{offset} , K_{pa} 가
 . , U_{offset} 가 ,
 (U_{offset}) . , 3 50 %

R_c (46) , 가 R_c 9 가 (18) 가
 , U_{offset}* R_c 가 .

10 , U_{offset}* (50) C_{var_offset} (50) K_{pa}
 (52), U_{offset}** R_c
 (50) (54) (46) , 10
 (50) U_{offset}* = f_{converter} (U_{offset}**) U_{offset}** U_{offset}*
 / (50) , , , ,

C_{var_offset} 가 가 (18) 11 .
 , 가 (18) (46) PAREG, POWLE
 V POWLEV* (50) (52) 가 (12') , 12 PAREG
 (16) (46) , 가 (18) 가 ((24)
 (16) (28) (16) 가 / (16) (18)
 , U_{offset} , U_{offset}* , U_{offset}** 가 /

13 (board) 가 가
 13 가 4 .
 13 가, R_d C_{var} dc U_{offset}** 가 C_{dc} 가
 U_{offset}** dc (decoupling) POWLEV U_{offset}**
 14 13 4 (o
 14 13 4
 vershot)

15a 15b 4 13
75 %

(57)

1.

(34) (36) 가 RF (22);

RF (22) (34) (36) 가
(16, 18, 20, 24)- (46) 가 - 가 가 (18) (12) (d, w_n) RF
(10).

2.

1 , 가 (18) (46) ,
(12) (12) RF (14) , 가 (18)
(12')

3.

1 2 , 가 ,
가 (18) 가 (24) RF .

4.

3 , 가 (18) ,
가 가 (C_{var}) RF .

5.

1 4 , 가 (18) ,
RF .

6.

1 5 , 가 ,
가 가 (16) RF .

7.

1 6 ,
가 (18) (46) (50) RF

8.

1 7 ,
가 (18) RF (46) (50) (52)
RF .

9.

7 8 ,
RF (50) (12')

1 10. 9 RF (10)

RF 11. (22) (12) RF (10)

(46) 가 (18) 가 ;
가 (d, w_n) 가 (18) RF (46)
(18)

11 12. , (18) ,
(K_{pa}) (d, w_n)
RF

11 13. 12 ,
(12) (12) (14) RF
(18) (46)

11 14. 13 , (18) ,
RF (10) RF (POWLEV, PAREG) RF (10)
RF

11 15. 14 ,
(18) RF

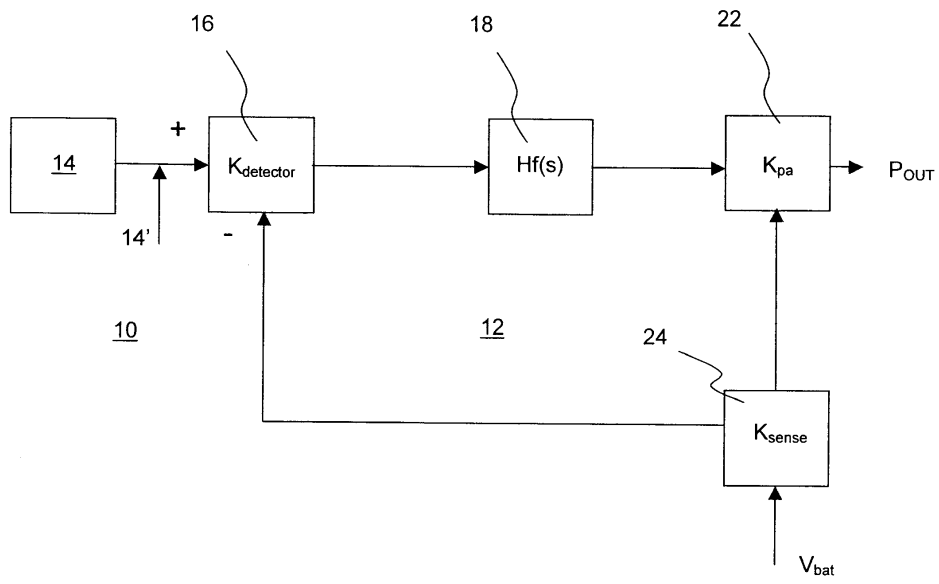
11 16. 15 ,
RF (22) RF 가 , (18)
RF

11 17. 16

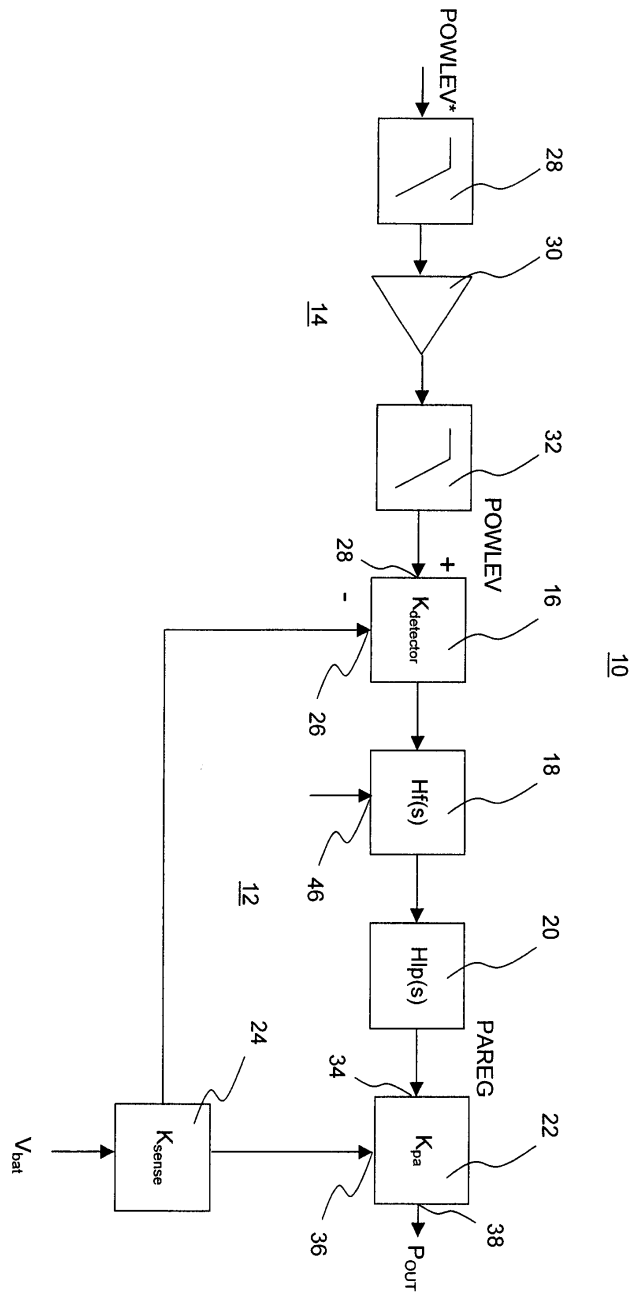
17 18. ,
가

1a

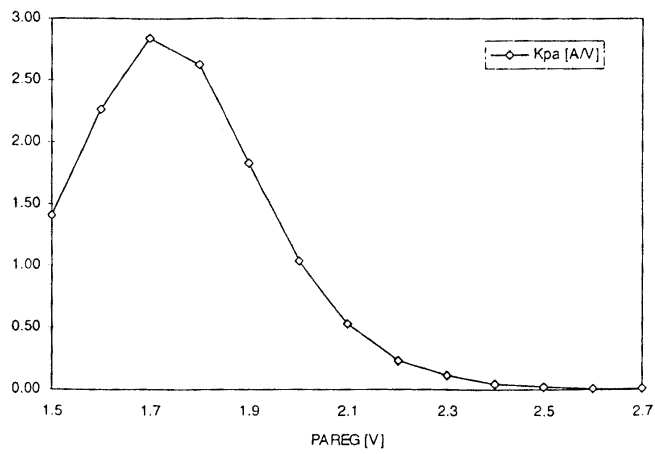
(종래 기술)

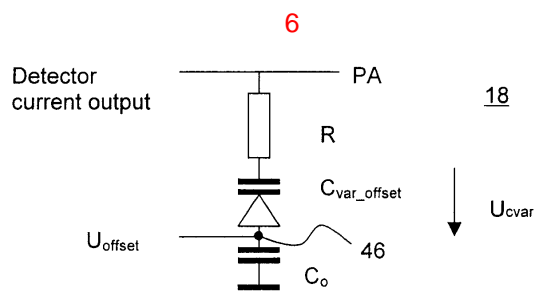
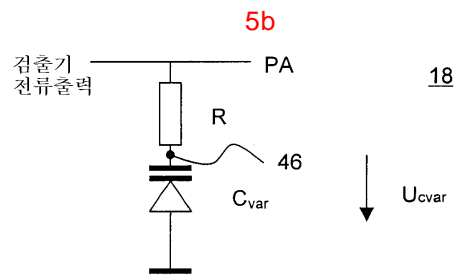
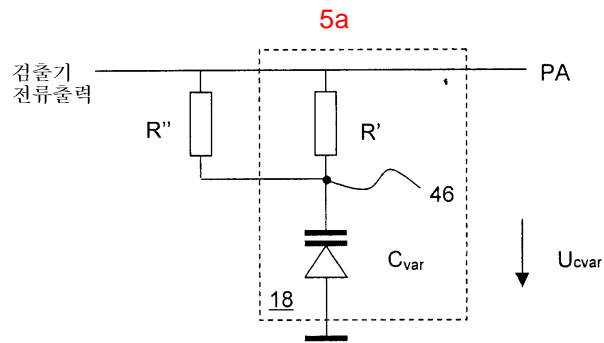
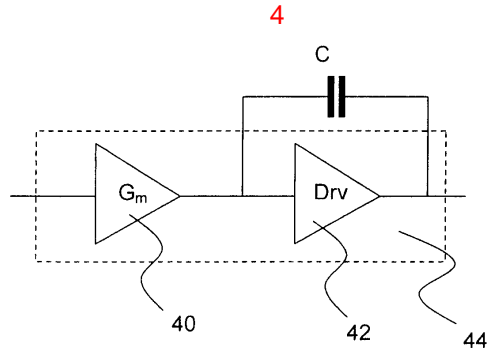
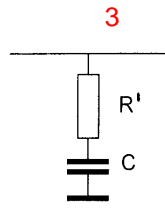


1b

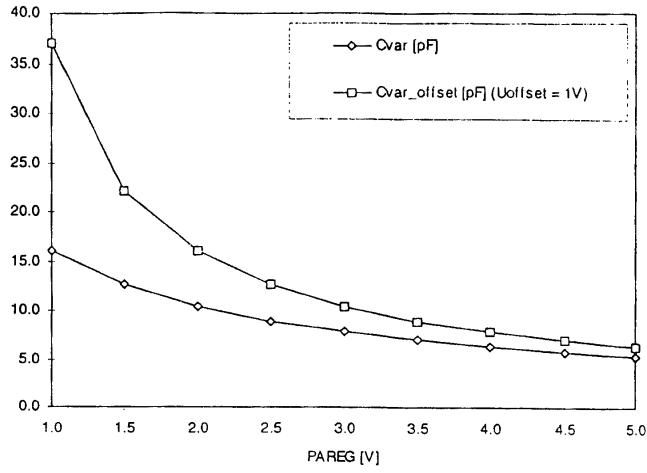


2

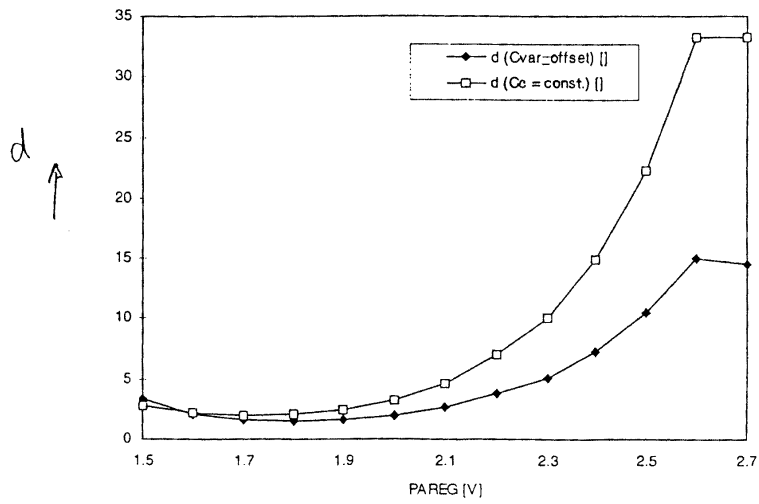




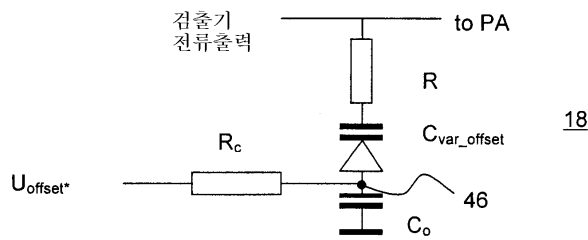
7



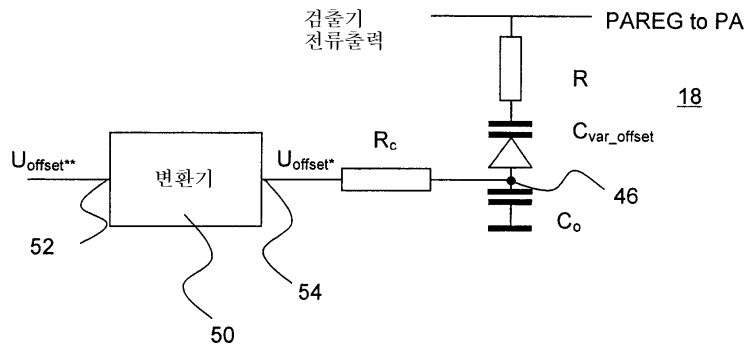
8

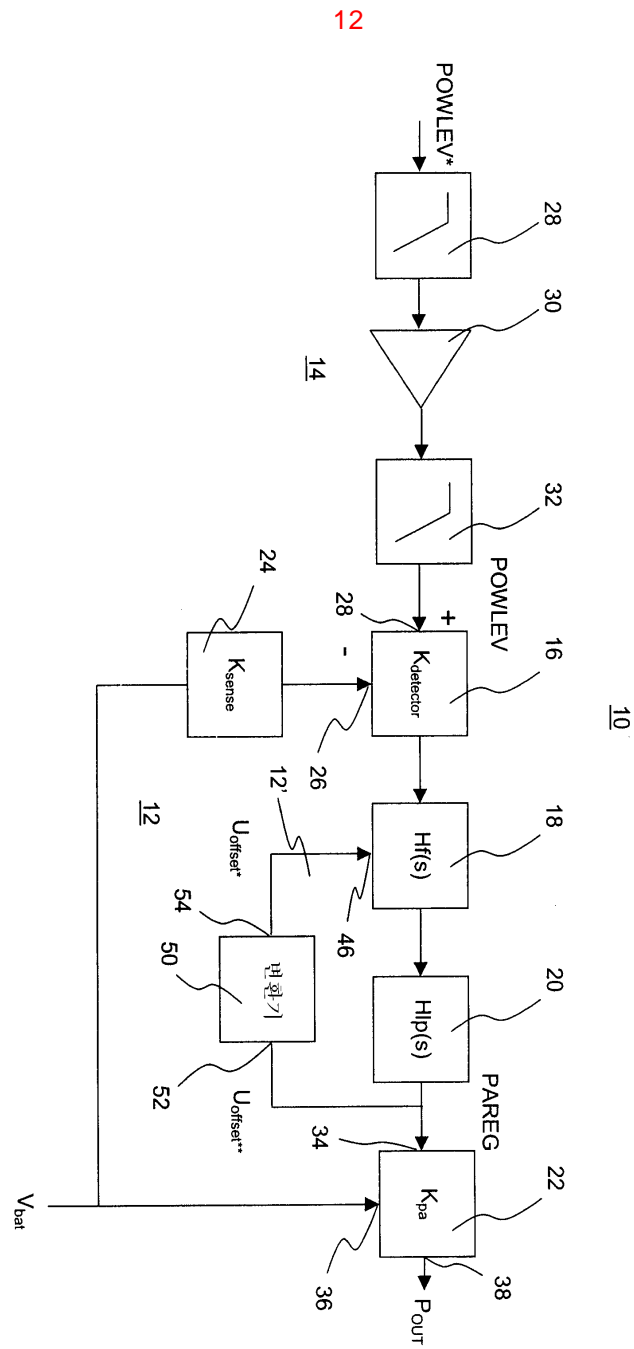
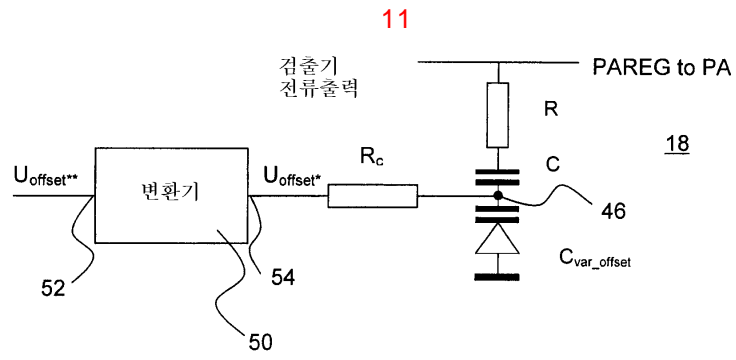


9

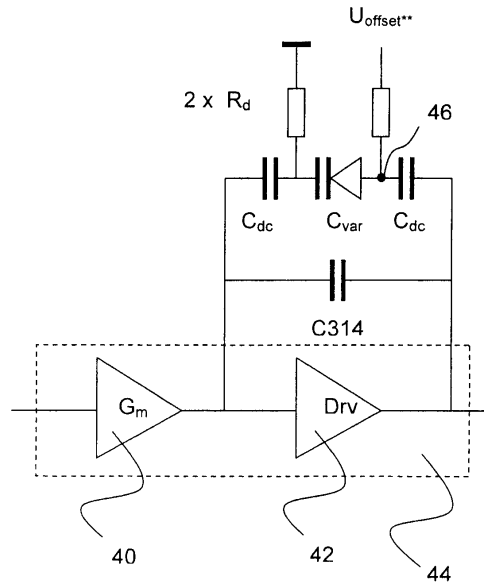


10

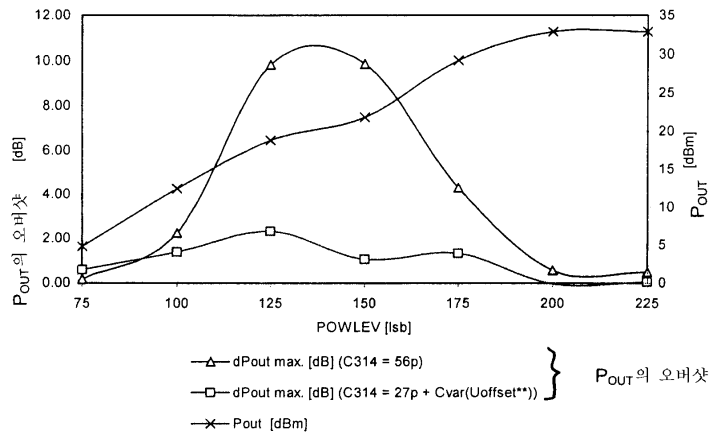




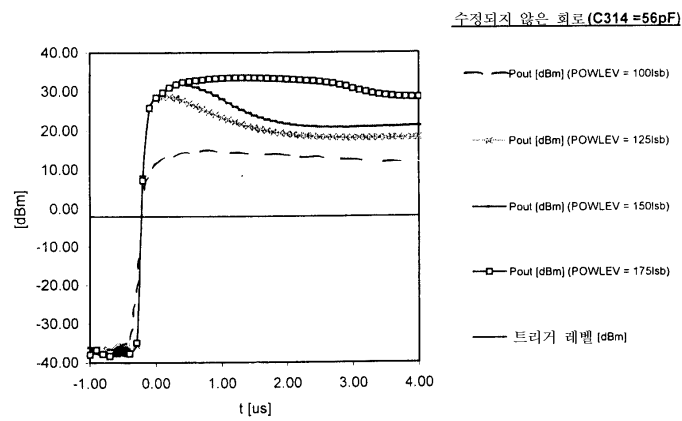
13



14



15a



15b

수정된 회로 (C314 = 27pF + Cvar)

